

669.192.45 : 546.221 : 669.18.018.252.2  
 : 669.15'775-194 S 99

(99) 鋼塊内硫化物系介在物形態とその分布について。

70375

神戸製鋼所 神戸工場

大西穂泰 山上 徹  
 今府基久。菅原宏文

1. 緒言

低炭素系硫黄快削鋼の被削性におよぼす要因の一つとして、硫化物系介在物の形態が挙げられている。この介在物は脱酸元素の種類とその有無、熱間加工条件の差などによつて、その延伸程度に差異を生じることはよく知られている。当社においても S, Mn. のみで鎮静した実用鋼塊でこれら的事実が確認されているが、今回熱間加工による硫化物系介在物の塑性変形挙動を把握する基礎資料として鋼塊内の硫化物形態とその分布について調査した結果を報告する。

2. 調査方法

供試鋼塊は AISI 1213相当材を S, Mn. のみで鎮静して 60T 転炉溶製の実用押湯付鋼塊である。供試片は鋼塊頭部、中間部、底部についておもに軸心、軸心と表面の中間部、および表面直下の各位置から切削採取した。調査項目として、鋼塊のマクロ的凝固組織、顕微鏡および X 線マイクロアナライザによる介在物の形態と分布、および同一位置のエッカ分析を行つた。

3. 調査結果

鋼塊のマクロ的凝固組織はプロホルムなどの穴陥もなく完全に鎮静されていて、図 1 に鋼塊位置別の介在物の大きさを示しているが、この結果からその大きさは冷却速度に支配されて、軸心部になると大きく成長していることが確認された。写真 1 にこの代表例を示している。

個々の介在物の形態は写真 2 に示すようなもののが観察され、これらを X 線マイクロアナライザで解析した結果、 $\alpha$  は MnS が主体で僅かな Fe<sub>3</sub>S が混入している。 $\beta$  は黒色に見える部分が研磨時に介在物が脱落したものであった。 $\gamma$  は周辺の暗色部に SiO<sub>2</sub>, MnO の酸化物系介在物を含んでおり、残りの大半は  $\alpha$  と同じ組成である。 $\delta$  は  $\gamma$  より酸化物系が多いもので Al<sub>2</sub>O<sub>3</sub> の存在も推定される。 $\epsilon$  は固い形で Fe<sub>3</sub>S が確認された。鋼塊内に置かれたこれら介在物の分散は  $\alpha$  がすべての位置で一番多く、 $\gamma$ ,  $\epsilon$  は底部に比較的多く、 $\beta$  は頭部のみで観察された。

鋼塊内成分変動は、C, S, P, で頭部が正、底部で負偏析している。

$\Sigma O$  はこれと逆の傾向である。この結果からも酸化物を含む介在物である  $\gamma$ ,  $\delta$  が底部に多く観察されたことと合致する。

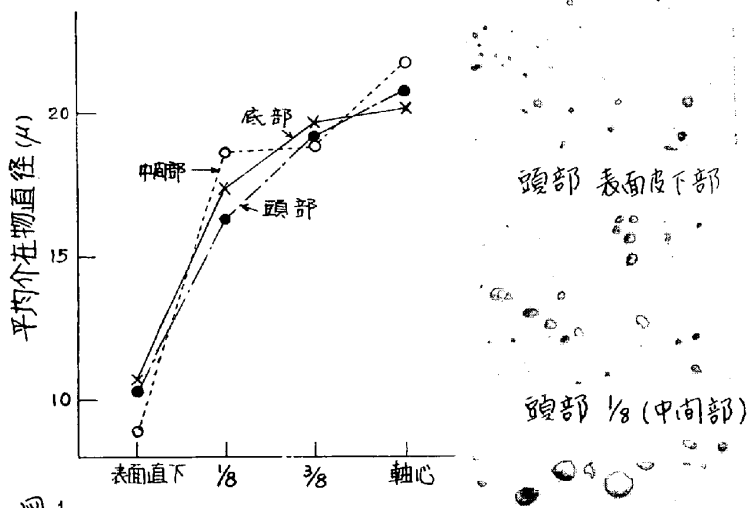


図 1 鋼塊位置別平均介在物直徑

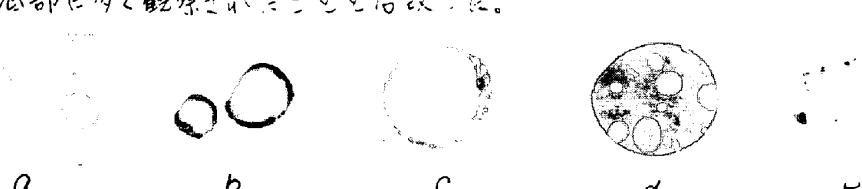


写真 2. 介在物の形態代表例。

頭部 軸心部  
 写真 1 鋼塊位置別  
 介在物の大きさ。